



آنلاین علمی صنایع مکانیک ایران

AMNC

available online @ amnc.aut.ac.ir

نشریه علمی پژوهشی مواد پیشرفته و پوشش‌های نوین - ۲۷ (۱۳۹۷-۱۹۲۴)

اثر غلظت نanolوله‌های کربنی روی مقاومت سایشی پوشش‌های نیکل-بور-نانولوله کربنی

سپهر یزدانی^۱، فرزاد محبوبی^{۲*}

۱ دانشجوی کارشناسی ارشد، دانشکده مهندسی معدن و متالورژی، دانشگاه صنعتی امیرکبیر، تهران، ایران

۲ استاد، دانشکده مهندسی معدن و متالورژی، دانشگاه صنعتی امیرکبیر، تهران، ایران



تاریخ دریافت:
۹۷/۱۱/۱۱

تاریخ پذیرش:
۹۸/۰۱/۱۷

در این مقاله، پوشش نیکل-بور-نانولوله کربنی با غلظت‌های مختلف نanolوله‌های کربنی روی فولاد AISI 4140 لایه نشانی شد و خواص ساختاری و رفتار سایشی آن مورد بررسی قرار گرفت. خواص ساختاری پوشش‌ها به کمک آزمون‌های پراش اشعه ایکس، میکروسکوپ الکترونی و آزمون سختی بررسی شد. همچنین ضریب اصطکاک و خواص سایشی نمونه‌ها به کمک آزمون پین روی دیسک مورد مطالعه قرار گرفت. نتایج نشان می‌دهد با افزایش غلظت نanolوله‌های کربنی ساختار پوشش از حالت آمورف به حالت شبیه-بلوری تغییر می‌یابد. علاوه بر این تصاویر میکروسکوپ الکترونی و نتایج حاصل از آزمون سختی نشان می‌دهد که اضافه کردن نanolوله‌های کربنی به حمام الکترولیس سبب افزایش سختی و خامات پوشش می‌گردد. اضافه کردن نanolوله‌های کربنی تا غلظت gr/lit باعث بهبود رفتار مقاومت سایشی و کاهش ضریب اصطکاک شد. با این وجود افزایش غلظت نanolوله‌های کربنی تا $1 gr/lit$ آگلomerه شدن نanolوله‌های کربنی سبب افزایش نرخ سایش ویژه پوشش شد.

نانولوله‌های کربنی، سایش، ضریب اصطکاک، پوشش

واژگان کلیدی

۱- مقدمه

روش دیگر برای بهبود پخش شدن نانولوله‌های کربنی در محلول آبی اکسید کردن آن‌ها با کمک اسید می‌باشد. در این روش گروه‌های عاملی مانند: کربوکسیل، کربونیل، هیدروکسیل به دیواره نانولوله‌های کربنی اضافه می‌گردد که از آگلومره شدن آن‌ها جلوگیری می‌کند. فرایند اکسیداسیون نانولوله‌های کربنی می‌تواند در محلول‌های اسیدی حاوی عوامل اکسیدزا مانند: H_2SO_4 , HNO_3 , H_2O_2 و HNO_3 انجام شود [۱۶].

تحقیقاتی که روی پوشش‌های الکتروولس و نانولوله‌های کربنی صورت گرفته نشان می‌دهد که افزونه نانولوله‌های کربنی در ساختار سبب بهبود خواص سایشی و خوردگی پوشش می‌گردد. علی‌شاھی و همکارانش [۱۷] در بررسی خواص سایشی و خوردگی پوشش‌های نیکل-فسفر-نانولوله کربنی نشان داده‌اند که نانولوله‌های کربنی بدليل فعالیت شیمیابی پایین و سرعت بخشیدن به تشکیل لایه پسیو سبب بهبود مقاومت به خوردگی پوشش می‌گردد. علاوه بر این گزارش شده است که وجود نانولوله‌های کربنی در ساختار پوشش‌های نیکل-فسفر سبب افزایش سختی پوشش و بهبود رفتار سایشی آن می‌گردد [۱۸]. ونگ و همکارانش [۱۹] نیز در مقایسه خواص سایشی پوشش الکتروولس نیکل و پوشش نیکل-نانولوله کربنی به این نتیجه رسیده‌اند که مشارکت نانولوله‌های کربنی در ساختار پوشش بدليل خاصیت روانکاری آن‌ها سبب کاهش نرخ سایشی پوشش تا حدود ۲ برابر می‌گردد. برخی دیگر از محققان نیز نشان داده‌اند که نانولوله‌های کربنی بدليل ریز دانه کردن ساختار پوشش سبب افزایش مقاومت در برابر سایش پوشش می‌گردد [۲۰].

هدف از این پژوهش بررسی اثر غلظت‌های مختلف نانولوله‌های کربنی روی خواص ساختاری، سختی و مقاومت سایشی پوشش‌های نیکل-بور-نانولوله کربنی می‌باشد.

۲- مواد و روش تحقیق

۲-۱- آماده سازی نمونه‌ها

در این پژوهش نمونه‌های استوانه‌ای از جنس فولاد AISI 4140 به عنوان زیرلایه مورد استفاده قرار گرفت. به منظور بهبود خواص مکانیکی مانند سختی، نمونه‌ها ۳۰ دقیقه در دمای ۸۵۰ درجه سانتی گراد آستینیتی شدند و سپس بلاfacile در روغن سریع سرد شدند. سپس، به منظور تمپر شدن در دمای ۵۶۰ درجه سانتیگراد به مدت ۶۰ دقیقه قرار گرفتند. سطوح نمونه‌ها با استفاده از ورق‌های SiC سمباده زنی شد. فقط چند ثانیه قبل از پوشش دهی از محلول (wt. %) $NaOH$ ۱۰ برای حذف آلاینده‌های آلی موجود روی سطح نمونه‌ها استفاده شد. پس از آن نمونه‌ها به کمک آب متنظر شستشو داده شدند و به منظور فعالسازی سطح آن‌ها برای پوشش دهی به مدت یک دقیقه در داخل محلول هیدروکلریک اسید قرار داده شدند.

پوشش‌های الکتروولس نیکل-بور به دلیل قیمت ارزان و قابلیت پوشش دهی یکنواخت کاربرد بسیار گسترده‌ای در صنعت یافته است [۱۲]. این پوشش‌ها به سه گروه مختلف تمیز تقسیم می‌شوند: نیکل خالص، نیکل-بور، نیکل-فسفر. فرایند پوشش دهی برای هر یک از این گروه‌ها درون حمامی باعماقل کاهنده منحصر بفرد انجام می‌شود. از عامل کاهنده هیدرازین برای نیکل، هیپوفسفیت برای نیکل-فسفر و بورو هیدرید سدیم یا دی متیل آمین بورن برای نیکل-بور استفاده می‌شود [۳۴]. پوشش الکتروولس نیکل-بور نسبت به پوشش الکتروولس نیکل-فسفر دارای سختی و مقاومت به خوردگی آن نسبت به پوشش الکتروولس نیکل-فسفر کمتر گزارش شده است. خواص مکانیکی خوب و مقاومت به سایش بالای این پوشش‌ها سبب کاربرد گسترده این پوشش‌ها در صنایع پتروشیمی، اتومبیل، نساجی و هواپیما شده است [۵۶].

نوع ساختار پوشش الکتروولس نیکل-بور پس از آبکاری بستگی به درصد بور این پوشش دارد. زمانی که درصد بور پوشش ناچیز باشد، ساختار پوشش بلورین و زمانی که درصد بور در حدود ۵-۶ درصد وزنی باشد ساختار آمورف و در مقادیر میانی ساختار شامل هر دو فاز نیکل بلورین و فاز آمورف حاوی نیکل و بور خواهد بود [۷].

تحقیقات نشان می‌دهد ایجاد پوشش‌های کامپوزیتی با اضافه کردن ذراتی مانند: TiO_2 , Al_2O_3 , SiC , WC سبب افزایش مقاومت در با این وجود این ذرات بدليل سختی بسیار بالا سبب ایجاد یک فصل مشترک غیرهمدوس با زمینه و ایجاد ترک می‌گردد. گروه دیگری از ذرات نیز مانند نانولوله‌های کربنی و PTFE وجود دارند که با اضافه شدن به ساختار بعنوان روانکار عمل می‌کنند و ضریب اصطکاک را کاهش می‌دهند [۱۰].

نانولوله‌های کربنی، ساختارهای حلقوی تو خالی و متشکل از اتم‌های کربن هستند که بدليل خواص ویژه و منحصر به فرد آن از جمله مدول یانگ بالا و استحکام کششی مناسب توجه محققان را به سمت خود جلب کرده‌اند. با این وجود بالا بودن نسبت طول به قطر این نانولوله‌ها سبب آگلومره شدن آن‌ها می‌گردد که خواص مکانیکی نامطلوبی را بوجود می‌آورد. آسیاب کاری گلوله‌ای، اضافه کردن مواد فعال سطحی و اکسید کردن نانولوله‌های کربنی از جمله عملیات‌هایی است که سبب جلوگیری از آگلومره شدن آن‌ها می‌گردد [۱۲، ۱۳].

مواد فعال سطحی به دو گروه عمده یونی و غیر یونی تقسیم می‌شوند. در بخش یونی مواد فعال سطحی شامل دو گروه آنیونی و کاتیونی می‌باشند. این آنیون‌ها و کاتیون‌ها با اعمال نیروی دافعه به دو سر نانولوله‌های کربنی سبب بهبود پخش شدن آن‌ها در محلول آبی می‌گردد. مواد فعال سطحی غیر یونی نیز بدليل دارا بودن شاخه‌ای بدلوست سبب بهبود پخش نانولوله‌های کربنی در محلول آبی می-

۴-۴- مشخصه یابی نمونه ها

طول نانوللهای کربنی و ساختار آن ها با کمک میکروسکوپ الکترونی MIRA3 TESCAN مورد مطالعه قرار گرفت. بررسی گروه های عاملی نانوللهای کربنی به کمک آزمون مشخصه یابی FTIR موردنظر بررسی ساختار بلوری پوشش ها از آزمون مطالعه قرار گرفت. به منظور بررسی ساختار بلوری پوشش ها از آزمون پراش اشعه ایکس با طول موج ($\lambda=1.54187 \text{ \AA}$) به نسبت وزنی پودر ۲۰ به ۱ بود و سرعت چرخش آسیاب ۳۰۰ دور در دقیقه بود.

آزمون میکروسختی پوشش ها با کمک دستگاه Shimadzu و اعمال نیروی ۵۰ گرم انجام گرفت. مقدار میانگین سختی حاصل از ۵ آزمون گرفته شده گزارش شد. به منظور بررسی میزان زبری نمونه ها از دستگاه زبری سنج TR200 استفاده گشت و مقدار میانگین حاصل از ۱۰ اندازه گیری گزارش شد.

به منظور بررسی خواص سایشی نمونه ها از دستگاه پین روی دیسک مطابق با استاندارد ASTM G99 استفاده گشت. پین مورد استفاده در این آزمایش از جنس فولاد AISI 52100 با قطر ۵ میلی متر و سختی ۶۲ راکول سی بود. آزمایش سایش با اعمال نیروی عمودی ۱۰ نیوتون، سرعت لغزش 50 mm/min و مسافت 500 mm در طول آزمون ۲۵ درجه سانتی گراد و میزان رطوبت هوا ۴۰ درصد بوده است. دیاگرام ضریب اصطکاک بر حسب مسافت توسط دستگاه ضبط گشت و سطح ساییده شده نمونه ها توسط میکروسکوپ الکترونی و مشخصه یابی EDS مورد بررسی قرار گرفت. مقدار وزن نمونه ها قبل و بعد از سایش توزو با دقت $1/0.05 \text{ g}$ میلی گرم اندازه گیری شد و نرخ سایش ویژه نمونه ها مطابق با فرمول زیر محاسبه گشت.

$$w_s = \frac{m}{d \times F} \quad (1)$$

که در آن w_s نرخ سایش ویژه، m میزان جرم ساییده شده، F نیروی اعمالی و d مسافت پیموده شده می باشد.

۳- نتایج آزمایشات و بحث

همانطور که در شکل ۱ نشان داده شده است، در اثر فرآیند آسیاب کاری طول نانوللهای کربنی به طور قابل توجهی کاهش یافته است. این امر بدلیل انرژی برخورد بالای گلولهای کربنی باشد که سبب می شود نانوللهای شکسته و تیز شوند.

عاملدار کردن نانوللهای کربنی در حمام التراسونیک میزان اکسیداسیون را با ایجاد نیروی برشی روی آن افزایش می دهد. یون نوتربیم (NO^{2+}) محصلو واکنش بین اسید سولفوریک و اسید نیتریک می باشد که باعث شکستن پیوندهای کربن با کربن در نانوللهای کربنی و در نهایت ایجاد گروه هایی مانند هیدروکسیل، کربوکسیل و کربونیل در دیواره نانوللهای شود. این واکنش می تواند عیوب زیادی در دیوار نانوللهای کربنی تولید کند.

طیف FTIR حاصل از نانوللهای کربنی عاملدار شده در شکل

۲-۲- عاملدار کردن نانوللهای کربنی

نانوللهای کربنی چند جداره (MWCNT) با خلوص ۹۵٪، طول ۱۰ تا ۳۰ میکرومتر و قطر خارجی ۱۰-۲۰ نانومتر، از شرکت US Research Nanomaterials خریداری شد. نانوللهای کربنی با گلولهای ۲ ساعت با استفاده از یک دستگاه آسیاب گلولهای کربنی با گلولهای ZrO_2 (شعاع: ۵ میلی متر، وزن: ۳ گرم) و محفظه فولاد زنگ نزن استوانه ای با حجم ۲۵۰ سی سی آسیاب کاری شد. نسبت وزنی توپ به نسبت وزنی پودر ۲۰ به ۱ بود و سرعت چرخش آسیاب ۳۰۰ دور در دقیقه بود.

در نهایت، نانوللهای کربنی در محلول $\text{HNO}_3 / \text{H}_2\text{SO}_4$ با نسبت حجمی ۳:۱ به مدت ۳ ساعت در دستگاه اولتراسونیک (Euronda 4D) (وات) عاملدار شدند. سپس، آنها در کاغذ فیلتر با استفاده از فیلتر خلاء جمع آوری شده و با آب مقطر شستشو داده شدند تا زمانی که اسیدیته محلول خنثی شود. محصول نهایی در یک کوره خلاء در دمای ۱۰۰ درجه سانتیگراد خشک گردید.

۳-۲- فرآیند پوشش دهی نمونه ها

نمونه ها بعد از آماده سازی به منظور پوشش دهی به مدت ۱ ساعت در حمام الکتروولس با ترکیب ذکر شده در جدول ۱ قرار گرفتند. حمام الکتروولس به کمک همزن مغناطیسی در زمان پوشش دهی هم زده شد. دمای پوشش دهی به کمک دماسنجه چیوه ای در ۹۰ درجه سانتی گراد تنظیم شد و در مدت زمان پوشش دهی در همین دما نگه داشته شد. به دلیل وجود بخارات سیی حاصل شده در حین پوشش دهی، کلیه عملیات الکتروولس در زیر هود انجام گرفت.

با در نظر گرفتن شرایط پوشش دهی نیکل-بور مقدار 0.2 gr/lit و 0.6 gr/lit نانوللهای کربنی ابتدا در حمام التراسونیک قرار گرفتند و سپس به حمام آبکاری نیکل-بور اضافه گشتند.

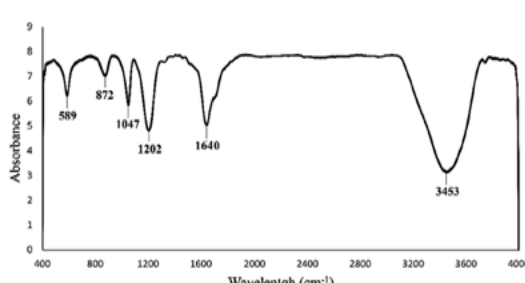
جدول ۱: ترکیبات و شرایط حمام الکتروولس استفاده شده برای پوشش دهی.

غلظت	ترکیبات حمام
25 gr/Lit	$\text{NiCl}_2 \cdot 6\text{H}_2\text{O}$
30 gr/Lit	$\text{C}_2\text{H}_8\text{N}_2$
0.02 gr/Lit	$\text{Pb}(\text{NO}_3)_2$
39 gr/Lit	NaOH
0.6 gr/Lit	NaBH_4
مقدار	شرایط حمام
500 cc	حجم حمام
۱۴	pH
$95 \pm 1 \text{ }^{\circ}\text{C}$	دما
۶۰ دقیقه	زمان آبکاری

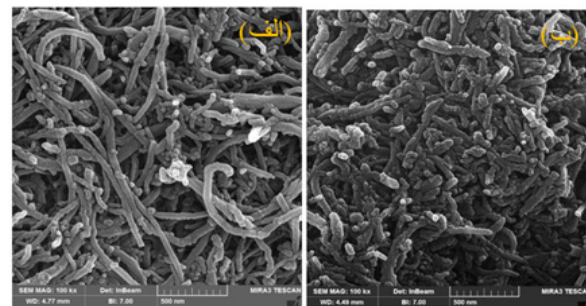
به حالت شبه-بلوری بیان کردند [۲۵]. بنابراین می‌توان به این نتیجه دست یافت که با افزایش نانولوله‌های کربنی در ساختار آرایش اتم‌ها تغییر می‌کند و یک حالت شبه-بلوری را بوجود می‌آورند. علت این امر این است که نانولوله‌های کربنی بعنوان یک عامل احیا کننده برای نیکل عمل می‌کند. در واقع اتم‌های نیکل شروع به جوانه زنی در محل عیوب نانولوله‌ها می‌کنند که سبب می‌شود سرعت جوانه زنی و رشد نیکل افزایش یابد و ساختار به حالت شبه-بلوری تبدیل گردد. گوو و همکارانش [۲۶] در تحقیقات خود بیان کردند که نانولوله‌های کربنی با ورود به محلولی با PH بالای ۷ می‌توانند یون H⁺ از گروه کربوکسیلیک خود آزاد کنند. در نتیجه این اتفاق یون HCOO⁻ از گروه کربوکسیلیک آن‌ها باقی می‌ماند که قابلیت احیا کنندگی بالایی دارد و می‌تواند باعث احیای یون‌های نیکل حمام شود که در نتیجه آن تعداد جوانه‌های بیشتری از نیکل روی پوشش ایجاد می‌شود. علاوه بر این همانگونه که مشاهده می‌شود هیچگونه پیکی از اتم‌های کربن در نتایج آزمایش اشعه ایکس بافت نشد که علت آن در واقع کم بودن غلظت نانولوله‌های کربنی می‌باشد.

شکل شماره ۴ تصاویر سطح مقطع پوشش ایکس ایجاد شده را نشان می‌دهد. همانگونه که مشاهده می‌شود با افزایش غلظت نانولوله‌های کربنی میزان ضخامت پوشش افزایش یافته است. در واقع علت افزایش ضخامت پوشش افزایش سرعت لایه نشانی اتم‌های نیکل در حضور نانولوله‌های کربنی می‌باشد. همانگونه که در قسمت

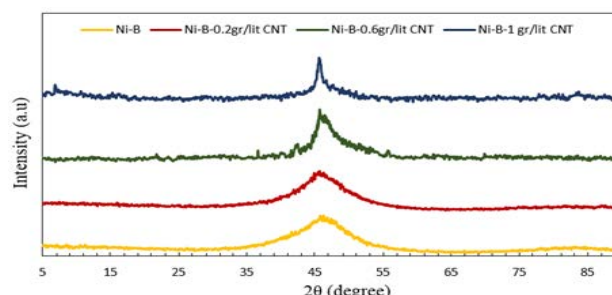
۲ نشان داده شده است، پیک پهن ایجاد شده در طول موج cm⁻¹ ۳۴۵۳ بیانگر ایجاد گروه عاملی هیدروکسید می‌باشد و پیک مشاهده شده در طول موج cm⁻¹ ۱۶۴۰ نشان دهنده گروه عاملی کربونیل می‌باشد [۲۲، ۲۱]. نتایج حاصل از آزمایش FTIR نشان می‌دهد که نانولوله‌های کربنی به درستی در طی فرآیند عاملدار شده‌اند. نتایج حاصل از آزمون پراش اشعه ایکس پوشش‌ها در شکل ۳ نشان داده شده است. همانگونه که مشاهده می‌شود پوشش نیکل-بور شامل یک پیک پهن در زاویه ۴۵ درجه می‌باشد. این پیک مربوط به پراش صفحه (۱۱۱) فاز نیکل می‌باشد. وجود این پیک بینگر این است که ساختار پوشش بصورت آمورف است. علت آمورف بودن ساختار این پوشش وجود اتم‌های بور می‌باشد که از جوانه زنی اتم‌های نیکل به صورت منظم جلوگیری می‌کند [۲۳]. اما همانگونه که مشاهده می‌شود با اضافه کردن نانولوله‌های کربنی پهنه‌ای پیک کاهش یافته است. کاهش پهنه‌ای پیک در نمونه‌های حاوی نانولوله‌های کربنی نشان می‌دهد که ساختار پوشش از حالت آمورف به حالت شبه-بلوری تغییر یافته است. همانگونه که ویتری و همکارانش [۲۴] بیان کردند در صورتی که پهنه‌ای پیک مشاهده شده در نتایج آزمون پراش اشعه ایکس پوشش نیکل-بور کاهش یابد می‌توان نتیجه گرفت که ساختار از حالت آمورف به شبه-بلوری تغییر کرده است. نتایج مشابه‌ای در افزودن ذرات SiC به حمام نیکل-بور توسط محققان مشاهده شده است که آن‌ها نیز علت کاهش پهنه‌ای پیک پوشش نیکل-بور را تبدیل ساختار بلوری پوشش از حالت آمورف



شکل ۲: طیف FTIR نانولوله‌های کربنی پس از عاملدار کردن.



شکل ۱: تصویر میکروسکوپ الکترونی نانولوله‌های کربنی (الف) قبل از بال میل (ب) بعد از بال میل.



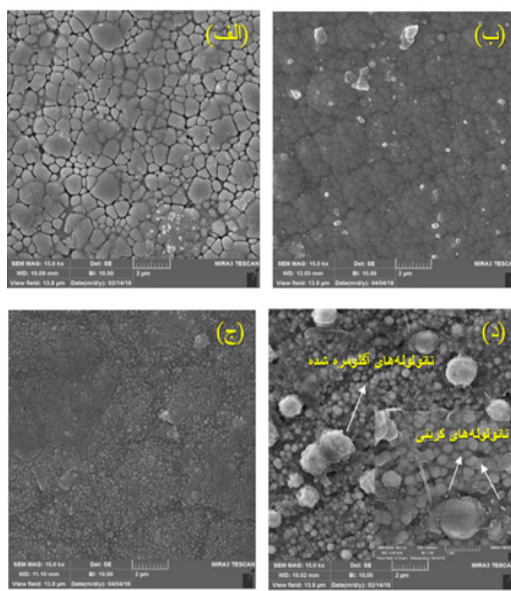
شکل ۳: الگوی اشعه ایکس نمونه‌های پوشش داده شده.

نانولوله‌ها کاملاً مشهود است که بدلیل غلظت بالای آن نسبت به نمونه‌های دیگر می‌باشد (شکل ۶د). علاوه بر این همانگونه که مشاهده می‌شود نانولوله‌ها در این نمونه آگلومره شده‌اند.

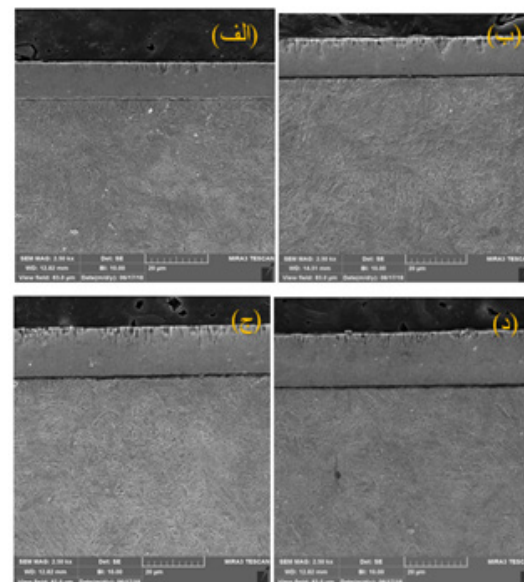
شکل شماره ۶ نتایج حاصل از آزمون میکروسختی نمونه‌ها را نشان می‌دهد. همانطور که دیده می‌شود افزایش غلظت نانولوله‌های کربنی تا غلظت 0.6 gr/lit سبب افزایش سختی پوشش تا مقدار ۷۵ و یکرز می‌گردد. علت این امر این است که نانولوله‌های کربنی بعنوان یک عامل کامپوزیت ساز سبب افزایش خواص مکانیکی ماتریکس نیکل می‌گردند. در واقع افزایش غلظت نانولوله‌های کربنی سبب ایجاد توزیع یکنواخت تری از آن‌ها در ضمینه نیکلی و افزایش سختی می‌گردد. با این وجود همانگونه که مشاهده می‌شود افزایش غلظت نانولوله‌های کربنی تا غلظت 1 gr/lit باعث کاهش سختی پوشش به مقدار 630 و یکرز شده است. علت این امر می‌تواند بدلیل آگلومره شدن نانولوله‌های کربنی در غلظت بالا باشد که سبب ایجاد یک فصل مشترک غیرهمدوس با ضمینه و

آزمایش اشعه ایکس بیان شد نانولوله‌های کربنی بعنوان یک عامل احیا کننده نرخ لایه نشانی اتم‌های نیکل را افزایش می‌دهد که این امر سبب افزایش ضخامت پوشش می‌گردد.

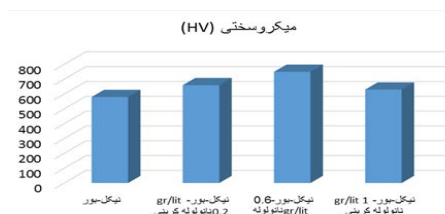
شکل ۵ تصاویر میکروسکوپ الکترونی سطح نمونه‌ها را نشان می‌دهد. همانگونه که دیده می‌شود سطح پوشش نیکل-بور دارای ترک می‌باشد. این ترک‌ها بدلیل آزاد شدن گاز هیدروژن در حمام در ساختار بوجود آمده‌اند (شکل عالی). با اضافه کردن نانولوله‌های کربنی مقدار این ترک‌ها کاهش یافته و احتمالاً با خاطر این است که نانولوله‌های کربنی می‌توانند در این ترک‌ها تعییه شوند. دیده شدن نانولوله‌های کربنی در پوشش‌های حاوی 0.2 gr/lit و 0.6 gr/lit نانولوله کربنی مشکل است چون همانگونه که بیان شد مقدار زیادی از نانولوله‌های کربنی میان ساختار تعییه می‌شوند (شکل علی و ج). با این وجود کاهش مقدار ترک‌های ساختار و تغییر ریزساختار پوشش می‌تواند دلیلی قاطع برای حضور نانولوله‌های کربنی در ساختار این نمونه‌ها باشد. همچنین در نمونه حاوی 1 gr/lit حضور



شکل ۵: تصویر میکروسکوپ الکترونی سطح نمونه‌های (الف) نیکل-بور، (ب) نیکل-بور- 0.2 gr/lit نانولوله کربنی، (ج) نیکل-بور- 0.6 gr/lit نانولوله کربنی، (د) نیکل-بور- 1 gr/lit نانولوله کربنی

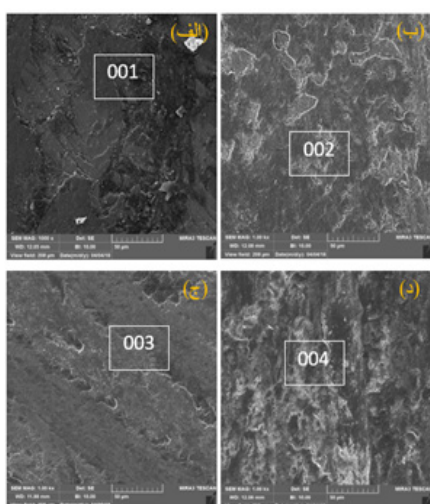


شکل ۶: تصویر میکروسکوپ الکترونی سطح مقطع نمونه‌های (الف) نیکل-بور، (ب) نیکل-بور- 0.2 gr/lit نانولوله کربنی، (ج) نیکل-بور- 0.6 gr/lit نانولوله کربنی، (د) نیکل-بور- 1 gr/lit نانولوله کربنی



شکل ۷: نتایج میکروسختی نمونه‌های پوشش داده شده.

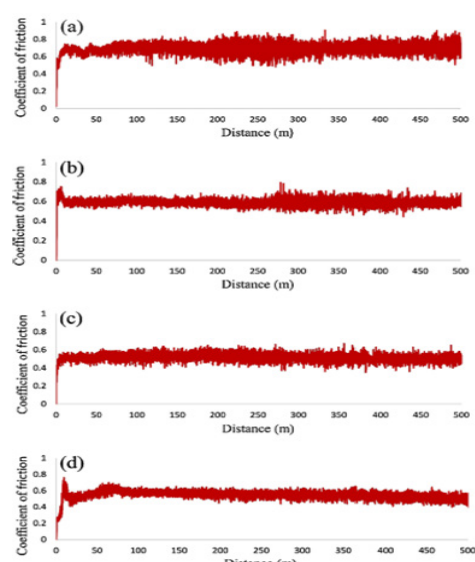
آمورف پوشش در حین آزمون سایش باشد. در واقع در حین آزمون سایش گرمای شدید در پوشش تولید می‌شود که انرژی حرکه مناسبی برای بلوری شدن پوشش می‌باشد و بنابراین قسمت‌هایی از پوشش بلوری می‌شود. وجود فازهای بلوری و آمورف در کنار هم سبب ایجاد ترک و کندگی شدید پوشش می‌شود و در نتیجه نوسانات نمودار ضریب اصطکاک افزایش می‌یابد. مقدار میانگین ضریب اصطکاک با افزایش غلظت نانولوله‌های کربنی تا غلظت 6 gr/lit کاهش یافت. علت این امر این است



شکل ۸: تصویر میکروسکوپ الکترونی سطح ساییده شده نمونه‌های (الف) نیکل-بور، (ب) نیکل-بور- 0.2 gr/lit ، (ج) نیکل-بور- 0.6 gr/lit ، (د) نیکل-بور- 1 gr/lit نانولوله کربنی.

کاهش خواص مکانیکی پوشش می‌گردد.

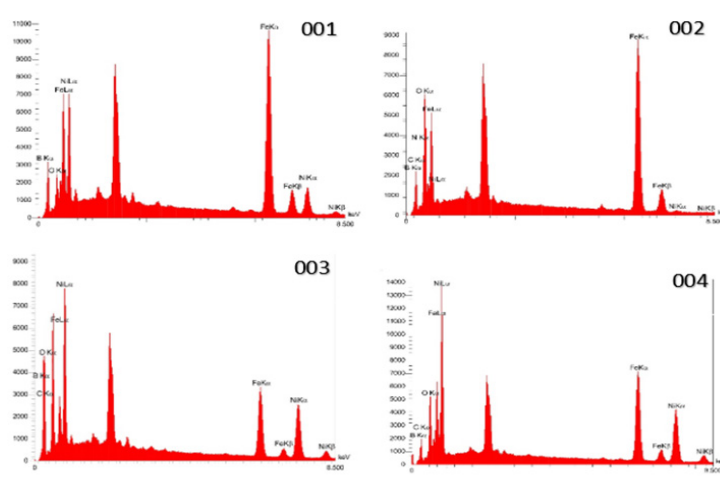
نمودار ضریب اصطکاک بر حسب فاصله نمونه‌ها در شکل ۷ نشان داده شده است. همانطور که مشاهده می‌شود نوسانات نمودار پوشش نیکل-بور بدون حضور نانولوله‌های کربنی بیشتر از سایر نمونه‌ها می‌باشد. در واقع علت این نوسانات قابلیت اتحاله بالای آهن (یعنی در نیکل (پوشش) می‌باشد که سبب کندگی شدید پوشش و ایجاد نوسانات شدید در نمودار ضریب اصطکاک می‌شود. علت دیگر این امر می‌تواند بدلیل بلوری شدن ساختار



شکل ۷: نمودار ضریب اصطکاک بر حسب فاصله نمونه‌های (الف) نیکل-بور، (ب) نیکل-بور- 0.2 gr/lit ، (ج) نیکل-بور- 0.6 gr/lit ، (د) نیکل-بور- 1 gr/lit نانولوله کربنی.

جدول ۲: نتایج آزمون سایش نمونه‌های پوشش داده شده.

نمونه	ضریب اصطکاک	جرم از دست رفته (mg)	نرخ سایش ویژه $\times 10^{-6} \text{ N.m}$
نیکل-بور	0.6943	3.5	7E-4
نیکل-بور- 0.2 gr/lit نانولوله کربنی	0.5901	2.4	4.8E-4
نیکل-بور- 0.6 gr/lit نانولوله کربنی	0.5143	2.1	4.2E-4
نیکل-بور- 1 gr/lit نانولوله کربنی	0.5468	2.8	5.6E-4



شکل ۹: نتایج آزمایش EDS نمونه‌ها.

با افزایش غلظت نانولوله‌های کربنی تا غلظت 1 gr/lit همانطور که در تصاویر میکروسکوپ الکترونی دیده می‌شود شیارهای عمیق‌تری در نواحی ساییده شده بوجود آمده است. علت این امر کنده شدن ذرات آگلومره نانولوله‌های کربنی می‌باشد که در اثر جدا شدن از پوشش شیارهای عمیقی را به جا می‌گذارد.

آزمون EDS گرفته شده از سطح نمونه‌های ساییده شده نشان می‌دهد که میزان آهن موجود در نتایج با افزایش غلظت نانولوله‌های کربنی تا غلظت 0.6 gr/lit کاهش پیدا کرده است. این نتایج نشان می‌دهد که نانولوله‌های کربنی بعنوان یک عامل روانکار در حین سایش عمل کرده است و از انحلال اتم‌های آهن پین جلوگیری کرده است.

۴- نتیجه‌گیری

در این پژوهش اثر غلظت نانولوله‌های کربنی روی خواص ساختاری و مقاومت سایشی پوشش‌های نیکل-بور-نانولوله کربنی بررسی شد. نتایج نشان داد با افزایش غلظت نانولوله‌های کربنی ساختار پوشش از حالت آمورف به حالت شبه-بلوری تغییر می‌کند. همچنین خاصیت پوشش‌ها با افزایش غلظت نانولوله‌های کربنی افزایش یافت. نتایج حاصل از آزمون سایش نشان داد که غلظت نانولوله‌های کربنی روی مقاومت سایشی پوشش تاثیر می‌گذارد و بعنوان یک ماده روانکار باعث کاهش ضریب اصطکاک و کاهش نرخ سایش ویژه می‌گردد. با این وجود غلظت زیاد نانولوله‌های کربنی باعث افت مقاومت سایشی پوشش گشت که احتمالاً بدليل آگلومره شدن آن‌ها رخ داده بود.

که در واقع نانولوله‌های کربنی بعنوان روانکار در پوشش عمل می‌کند و از تماس مستقیم پین با پوشش جلوگیری می‌کند. یکی دیگر از عوامل مهم در کاهش ضریب اصطکاک سختی پوشش می‌باشد. همانگونه که در قسمت قبل بیان شد با افزایش نانولوله‌های کربنی سختی پوشش افزایش می‌یابد و این امر از تغییر شکل پلاستیک پوشش جلوگیری می‌کند. در نهایت نیروی محرکه بیشتری برای کنده شدن ذرات نیاز می‌شود و در نتیجه آن ضریب اصطکاک کاهش می‌یابد. در نمونه حاوی غلظت 1 gr/lit نانولوله کربنی همانگونه که در شکل ۷ دیده می‌شود در $50 \text{ متر} \times 50 \text{ متر}$ اولیه مسیر سایشی ضریب اصطکاک افزایش می‌یابد و سپس کاهش می‌یابد. علت این امر می‌تواند کنده شدن ذرات آگلومره نانولوله‌های کربنی باشد که پیوند بسیار ضعیفی با ماتریکس زمینه دارد و کنده شدن آن‌ها باعث افزایش نرخ سایش و افزایش ضریب اصطکاک می‌شود. پس از این که این ذرات کنده شدند با اکسیژن موجود در هوا واکنش می‌دهند و ذرات اکسیدی را تولید می‌کنند که از تماس مستقیم پین با پوشش جلوگیری می‌کند و ضریب اصطکاک را کاهش می‌دهد.

جدول شماره ۲ مقدار میانگین ضریب اصطکاک، مقدار جرم از دست رفته پوشش حین سایش و نرخ سایش ویژه را نشان می‌دهد. همانطور که مشاهده می‌شود نرخ سایش ویژه ارتباط مستقیمی با ضریب اصطکاک دارد و در نمونه‌هایی که ضریب اصطکاک آن‌ها کم بوده است نرخ سایش ویژه کم شده است. کمترین میزان نرخ سایش ویژه برای نمونه حاوی 0.6 gr/lit نانولوله کربنی بدست آمده است. علت این امر سختی بالای این نمونه، ضریب اصطکاک کم و احتمالاً توزیع یکنواخت نانولوله‌های کربنی در ساختار این پوشش می‌باشد.

شکل شماره ۸ تصاویر سطح ساییده شده نمونه‌ها را نشان می‌دهد. همانطور که دیده می‌شود در نمونه نیکل-بور کندگی بسیار شدیدتری نسبت به سایر نمونه‌ها مشاهده می‌شود. علت این امر انحلال پذیری بالای آهن موجود در پین با نیکل موجود در پوشش می‌باشد. در واقع انحلال شدید این دو عنصر سبب ایجاد جوش موضعی بین پین و سطح پوشش می‌شود که در اثر چرخش‌های مکرر پین روی سطح نمونه کندگی شدیدی را ایجاد می‌کند. از روی تصویر میکروسکوپ الکترونی سطح ساییده شده پوشش نیکل-بور می‌توان به این نتیجه دست یافت که مکانیزم سایش در این نمونه از نوع سایش چسبان می‌باشد. با افزایش غلظت نانولوله‌های کربنی تا غلظت 0.6 gr/lit همانطور که در تصاویر میکروسکوپ الکترونی دیده می‌شود میزان کندگی موجود در سطح کاهش پیدا می‌کند.

surfactant mixtures, *Colloids and Surfaces A: Physicochemical and Engineering Aspects*, 531 (2017) 141-149.

[15] M.D. Clark, S. Subramanian, R. Krishnamoorti, Understanding surfactant aided aqueous dispersion of multi-walled carbon nanotubes, *Journal of colloid and interface science*, 354 (2011) 144-151.

[16] Y.-C. Chiang, W.-H. Lin, Y.-C. Chang, The influence of treatment duration on multi-walled carbon nanotubes functionalized by H₂SO₄/HNO₃ oxidation, *Applied Surface Science*, 257 (2011) 2401-2410.

[17] Alishahi, M., et al. "Synthesis and passivation behavior of electroless Ni-P-CNT composite coating." *Materials and Corrosion* 64.3 (2013): 212-217.

[18] Alishahi, Mostafa, et al. "The effect of carbon nanotubes on the corrosion and tribological behavior of electroless Ni-P-CNT composite coating." *Applied Surface Science* 258.7 (2012): 2439-2446.

[19] Wang, L_Y, et al. "Friction and wear behavior of electroless Ni-based CNT composite coatings." *Wear* 254.12 (2003): 1289-1293.

[20] Praveen, B. M., and T. V. Venkatesha. "Electrodeposition and properties of Zn-Ni-CNT composite coatings." *Journal of Alloys and Compounds* 482.1-2 (2009): 53-57.

[21] U. Tocoglu, M. Alaf, O. Cevher, M. Guler, H. Akbulut, The effect of oxidants on the formation of multi-walled carbon nanotube buckypaper, *Journal of nanoscience and nanotechnology*, 12 (2012) 9169-9174.

[22] T.A. Saleh, The influence of treatment temperature on the acidity of MWCNT oxidized by HNO₃ or a mixture of HNO₃/H₂SO₄, *Applied surface science*, 257 (2011) 7746-7751.

[23] V. Vitry, A. Sens, A.-F. Kanta, F. Delaunois, Experimental study on the formation and growth of electroless nickel–boron coatings from borohydride-reduced bath on mild steel, *Applied Surface Science*, 263 (2012) 640-647.

[24] V. Vitry, L. Bonin, Increase of boron content in electroless nickel–boron coating by modification of plating conditions, *Surface and Coatings Technology*, 311 (2017) 164-171.

[25] E. Georgiza, V. Gouda, P. Vassiliou, Production and properties of composite electroless Ni-B-SiC coatings, *Surface and Coatings Technology*, 325 (2017) 46-51.

[26] Gou, Lei, et al. "Rational synthesis of Ni 3 (HCOO) 6/CNT ellipsoids with enhanced lithium storage performance: inspired by the time evolution of the growth process of a nickel formate framework." *Dalton Transactions* 46.19 (2017): 6473-6482.

۵- مراجع

- [1] Z.A. Hamid, H. Hassan, A. Attyia, Influence of deposition temperature and heat treatment on the performance of electroless Ni-B films, *Surface and coatings technology*, 205 (2010) 2348-2354.
- [2] Q.-l. Rao, G. Bi, Q.-h. Lu, H.-w. Wang, X.-l. Fan, Microstructure evolution of electroless Ni-B film during its depositing process, *Applied Surface Science*, 240 (2005) 28-33.
- [3] P. Sahoo, S.K. Das, Tribology of electroless nickel coatings – a review, *Mater. Des.* 32 (2011) 1760–1775.
- [4] V. Vitry, L. Bonin, Formation and characterization of multi-layers borohydride and hypophosphite reduced electroless nickel deposits, *Electrochim. Acta* 243 (2017) 7–17.
- [5] F. Madah, C. Dehghanian, A.A. Amadeh, Investigations on the wear mechanisms of electroless Ni-B coating during dry sliding and endurance life of the worn surfaces, *Surface and Coatings Technology*, 282 (2015) 6-15.
- [6] A. Mukhopadhyay, T.K. Barman, P. Sahoo, Tribological behavior of sodium borohydride reduced electroless nickel alloy coatings at room and elevated temperatures, *Surface and Coatings Technology*, 321 (2017) 464-476.
- [7] M. Anik, E. Körpe, E. Şen, Effect of coating bath composition on the properties of electroless nickel–boron films, *Surface and Coatings Technology*, 202 (2008) 1718-1727.
- [8] P. Wu, H. Du, X. Chen, Z. Li, H. Bai, E. Jiang, Influence of WC particle behavior on the wear resistance properties of Ni-WC composite coatings, *Wear*, 257 (2004) 142-147.
- [9] L. Chen, L. Wang, Z. Zeng, T. Xu, Influence of pulse frequency on the microstructure and wear resistance of electrodeposited Ni-Al₂O₃ composite coatings, *Surface and Coatings Technology*, 201 (2006) 599-605.
- [10] M. Mu, X. Zhou, Q. Xiao, J. Liang, X. Huo, Preparation and tribological properties of self-lubricating TiO₂/graphite composite coating on Ti6Al4V alloy, *Applied Surface Science*, 258 (2012) 8570-8576.
- [11] E. Georgiza, V. Gouda, P. Vassiliou, Production and properties of composite electroless Ni-B-SiC coatings, *Surface and Coatings Technology*, 325 (2017) 46-51.
- [12] B. Munkhbayar, M.J. Nine, J. Jeoun, M. Bat-Erdene, H. Chung, H. Jeong, Influence of dry and wet ball milling on dispersion characteristics of the multi-walled carbon nanotubes in aqueous solution with and without surfactant, *Powder technology*, 234 (2013) 132-140.
- [13] M. Zhou, Y. Mai, H. Ling, F. Chen, W. Lian, X. Jie, Electrodeposition of CNTs/copper composite coatings with enhanced tribological performance from a low concentration CNTs colloidal solution, *Materials Research Bulletin*, 97 (2018) 537-543.
- [14] S. Javadian, A. Motaee, M. Sharifi, H. Aghdastinat, F. Taghavi, Dispersion stability of multi-walled carbon nanotubes in catanionic